

## بررسی عددی تحول ابر همرفتی با استفاده از مدل ابر یک بعدی کج وابسته (ETTM) به زمان صریح

مریم قرایلو<sup>۱\*</sup>، عباسعلی علی‌اکبری بیدختی<sup>۲</sup> و مجید مزرعه فراهانی<sup>۳</sup>

<sup>۱</sup>دانشجوی دکتری هواشناسی، گروه فیزیک فضا، مؤسسه ژئوفیزیک دانشگاه تهران، ایران

<sup>۲</sup>استاد، گروه فیزیک فضا، مؤسسه ژئوفیزیک دانشگاه تهران، ایران

<sup>۳</sup>استادیار، گروه فیزیک فضا، مؤسسه ژئوفیزیک دانشگاه تهران، ایران

(دریافت: ۱۴/۱۱/۲۹، پذیرش نهایی: ۱۵/۱۲/۲۹)

### چکیده

چن و سان در سال ۲۰۰۴ مدل یک بعدی ابر کج وابسته به زمان صریح (ETTM) را عرضه کردند. این مدل ابر کج وابسته به زمان شامل یک جریان بالارو و یک جریان پایین رو است که معادلات دینامیکی و ترمودینامیکی مشابه در مورد آنها برقرار است. در این مدل، برای نمایش واقعی اثرات ابرهای همرفتی با ابعاد زیرشبکه‌ای، اثرات جریان پایین رو، شاعر ابر و اثرات کج شدگی بر یک ابر مورد بررسی قرار گرفته است. در این تحقیق، پس از شبیه سازی گسترش ابر کومه‌ای با استفاده از مدل ETTM نتایج حاصل از این شبیه سازی مورد بررسی قرار می‌گیرد. مدل با استفاده از نیم‌رخ قائم دما و نسبت اختلال بخار آب یک گمانه‌زنی قائم آغازگری می‌شود. میدان باد در راستای قائم و جهت آن طوری تغییر یافته است که میدان ساده‌تری از باد با تنها یک تغییر به دست آید. به منظور اجرای مدل جمله‌های درون‌آمیختگی، پخش پیچکی جانبی، پخش قائم، خردفیزیک ابر محاسبه و پریشیدگی فشار نیز پارامترسازی می‌شود. مقدار زاویه کج شدگی و شاعر ابرهای جریان‌های بالارو و پایین رو براساس شبیه سازی ابر همرفتی در یک مدل میان مقیاس سه‌بعدی تعیین می‌شود. نتایج حاصل از این شبیه سازی نشان می‌دهد که با وارد کردن اثر فرایندهای خردفیزیکی، پریشیدگی فشار، اثر کج شدگی و جریان پایین رو در مدل، سه مرحله چرخه عمر یک ابر همرفتی به خوبی با مدل شبیه سازی می‌شود و با نتایج پیش‌بینی شده چن و سان (۲۰۰۴) سازگاری دارد در نتیجه امکان به کارگیری مدل و پیاده‌سازی آن در یک مدل میان مقیاس در حکم مراحل بعدی تحقیق فراهم می‌شود.

واژه‌های کلیدی: مدل سازی، ابرهای همرفتی، جریان‌های بالارو و پایین رو، ابرهای کج، آهنگ بارندگی

### Numerical study of convective cloud development using Explicit Time-dependent Tilting cloud Model (ETTM)

Gharaylo, M.<sup>1</sup>, Aliakbari-Bidokhti, A. A.<sup>2</sup> and Mazraeh Farahani, M.<sup>3</sup>

<sup>1</sup>Ph D. student of Meteorology, Space Physics Department, Institute of Geophysics, University of Tehran, Iran

<sup>2</sup>Professor, Space Physics Department, Institute of Geophysics, University of Tehran, Iran

<sup>3</sup>Assistant professor, Space Physics Department, Institute of Geophysics, University of Tehran, Iran

(Received: 18 June 2008, Accepted: 24 Jan 2009)

### Abstract

Cumulus parameterization in numerical weather prediction models can significantly affect severe weather forecasts, such as hurricanes, flash floods, and winter storms. The role of convection is essential in stabilizing an unstable atmosphere through vertically transferring moisture, energy, chemical species and momentum. Cumulus parameterization schemes use simple one-dimensional convective cloud models to

represent convection in the vertical direction. The cloud model is a fundamental determinant of vertical mass flux, heating and drying profiles, and precipitation rate.

The research presented in this paper is based on the cloud model developed by Chen and Sun (2004). This Explicit Time-dependent Tilting cloud Model (ETTM) features detailed processes for an updraft and a downdraft, both governed by the same dynamic and thermodynamic equations. The updraft is initiated with a thermal bubble, while the downdraft is maintained by evaporative cooling and the drag force of precipitation. Both up- and down-downdrafts employ non-hydrostatic pressure, entrainment, cloud microphysics, and lateral and vertical eddy mixing. A tilting angle for the cloud is specified to separate a portion of the downdraft from the updraft cell to account for vertical wind shear.

Since the ETTM described by Chen and Sun (2004) is not available as a community code, a slightly different algorithm was developed independently. The ETTM coordinate system is an axis-symmetric cylindrical with a constant radius mapped on  $(r, \psi, Z)$  where  $r$  is radius,  $\psi$  is tangential angle, and  $Z$  is height in tilting coordinates. Prognosed variables are; vertical velocity, ice equivalent potential temperature, mixing ratios of water classes including cloud water, water vapor, ice water, rain water, snow and graupel.

The main purpose of this research is to examine the simulation of the development of a cumulus cloud by ETTM. An idealized sounding is used for environmental temperature, relative humidity and pressure. This sounding was measured on 20 May 1997 over Del City, Oklahoma during a storm. Time-stepping is determined according to Courant-Fredrich-Lowy (CFL) criteria, here we use 1s time-stepping. Vertical resolution is set to 500 m for each of the 34 vertical levels, placing the top of the domain at 17 km. The model is integrated for 70 minutes. ETTM also requires input for the radius and tilting angle of the up- and down-draft cells, these are based on the 3-D simulations with a mesoscale model simulation. The radius of the updraft and of the downdraft are set to 4000 and 1600 m respectively (radius of the downdraft being 40% of the updraft as described above). The tilting angle is set to 11.2°. In the model the effect of vertical diffusion and also non hydrostatic pressure gradient force are included. The governing equations of our model are exactly the same as those in Chen and Sun (2004). Results show that the ETTM is able to simulate a complete lifecycle for a cloud cell, featuring comparable zones of maximum vertical velocity, and overshooting layers on the cloud top and that this model can confidently be used in cumulus parameterization.

**Key words:** Cumulus cloud simulation, Updraft, Downdraft, Tilting

## ۱ مقدمه

کوچکتری دارند، از پارامترسازی فیزیکی استفاده می کنیم. پارامترسازی فیزیکی به صورت نمایش اثرات فرایندهای مقیاس زیرشبکه با استفاده از میدان های مقیاس قابل تفکیک تعریف می شود. وارد کردن اثر همرفت کومه ای در مدل های پیش بینی عددی، پارامترسازی همرفت کومه ای نامیده می شود. پارامترسازی همرفت کومه ای در مدل های پیش بینی

پدیده های گوناگون جوی در مقیاس های خرد، میان و بزرگ مقیاس، مقیاس های مشخصه زمانی و مکانی متفاوتی دارند. با توجه به قدرت تفکیک مدل های اقلیمی منطقه ای و مدل های جهانی، این مدل ها متغیر های بزرگ مقیاس را پیش بینی می کنند و برای پیش بینی فرایندهای مقیاس زیر شبکه، مانند همرفت کومه ای که به طور صریح با مدل ها قابل تفکیک نیستند و مقیاس های زمانی و مکانی

آهنگ بارش داشته باشد (کیو، ۱۹۶۵؛ آراکاوا و شوبرت، ۱۹۷۴؛ آتسن، ۱۹۷۷؛ فریچ و چپل، ۱۹۸۰ و a؛ گرل، ۱۹۹۳؛ b؛ ۱۹۹۷) هو ۱۹۹۷). هدف و تاکید این تحقیق نیز بیشتر بر موضوع توزیع مجدد پارامترهای دینامیکی و ترمودینامیکی جو در جهت قائم یا به عبارتی پارامترسازی همrfت و به کارگیری یک مدل ابر در مدل‌های میان مقیاس است.

مدل‌های عددی زیادی از ابرهای همrfتی گسترش یافته‌اند. خلاصه‌ای مفید ولی قدیمی از مدل‌های ابر کومه‌ای یک‌بعدی را اوگارا (۱۹۷۲)، کوتون (۱۹۷۵) و سیمپسون (۱۹۷۶ و ۱۹۸۳) عرضه کرده‌اند. این مدل‌ها از نظر پیچیدگی فیزیک ابر و روش‌های عددی مورد استفاده در آنها تا حد زیادی متفاوت هستند. به طور کلی سه روش در ساده‌سازی دینامیک این مدل‌ها مورد استفاده قرار گرفته است (اشتاينر، ۱۹۷۳):

الف- درنظرگرفتن یک تک‌ستون قائم (مدل‌های یک‌بعدی).

ب- فرض همگنی جریان حول یک محور قائم (مدل متقارن محوری) و

ج- فرض که در یک جهت افقی همه پارامترها گرادیان صفر دارند (مدل‌های دوبعدی راست‌خطی)

هر دو مدل یک‌بعدی مانا (غیر وابسته به زمان) و وابسته به زمان، ابر را به شکل یک تک‌ستون قائم درنظر می‌گیرند و از این جهت، مدل‌های یک‌بعدی ابر به منزله مدل‌های تک‌ستونی (single-column) نیز شناخته می‌شوند (داس و همکاران، ۱۹۹۹؛ وو و همکاران، ۲۰۰۰). به دلیل سادگی دینامیک موجود در مدل‌های یک‌بعدی اینگونه مدل‌ها از نظر محاسباتی هزینه‌بر نیستند ولی یکی از معایب عمده آنها این است که تغییرات افقی شرایط داخل ابر و محیط اطراف ابر به اندازه کافی نمایش داده نمی‌شوند و دیگر اینکه اثرات چینش باد محیطی (مدل متقارن محوری) در آنها وارد نمی‌شود.

عددی وضع هوا تا حد قابل ملاحظه‌ای پیش‌بینی‌های پدیده‌های فرین آب و هوایی از جمله تندبادها، سیل‌های شدید و توفان‌های زمستانی را تحت تاثیر قرار می‌دهد. تاثیر همrfت در پایدارسازی جو ناپایدار بسیار با اهمیت است و نقش آن در انتقال قائم رطوبت، انرژی، تکانه و ردیاب‌های شیمیایی غیرقابل صرف‌نظر کردن است. فرایند تشکیل ابر و بارش در ابرهای همrfتی باعث آزاد شدن گرمای نهان شده و به منبعی از انرژی پتانسیل دردسترس در جو آزاد منجر می‌شود که موجب جفت‌شدن همrfت با دینامیک بزرگ‌مقیاس می‌شود. سه جنبه مشترک در همه طرح‌واره‌های پارامترسازی همrfت وجود دارد که هر طرح‌واره براساس این فرضیه‌ها پایه گذاری می‌شود:

الف- شرایط ایجاد همrfت و عوامل راه‌انداز آن. برای نمونه ارتفاع ابر، شرطی است که بعضی از طرح‌واره‌ها برای همrfت فرض می‌کنند و ابرهایی که ارتفاع آنها از مقداری معین کمتر باشد در محاسبات وارد نمی‌شوند.

ب- اثر میدان بزرگ‌مقیاس که به دلیل واداشت‌های بزرگ‌مقیاس بر همrfت که هر طرح‌واره منطبق بر فرضیه‌ها خود، آن را مدل می‌کند. مثلاً همگرایی رطوبت در ستون قائم یکی از این اثرات است که معمولاً در تعیین آهنگ بارش به کار می‌رود.

ج- اثر یا پس‌خور همrfت بر محیط اطرافش یا به عبارت دیگر میدان بزرگ‌مقیاس که به شکل پریشیدگی در میزان متوسط کمیت میانگین پیش‌بینی شده مدل به میدان آن در جو اضافه می‌شود (کوتون و آتسن، ۱۹۸۹). این اثر به تعیین توزیع قائم گرمایش و مرطوب شدن در ابرها و انتقال قائم گرمایش، رطوبت و تکانه در جو منجر می‌شود.

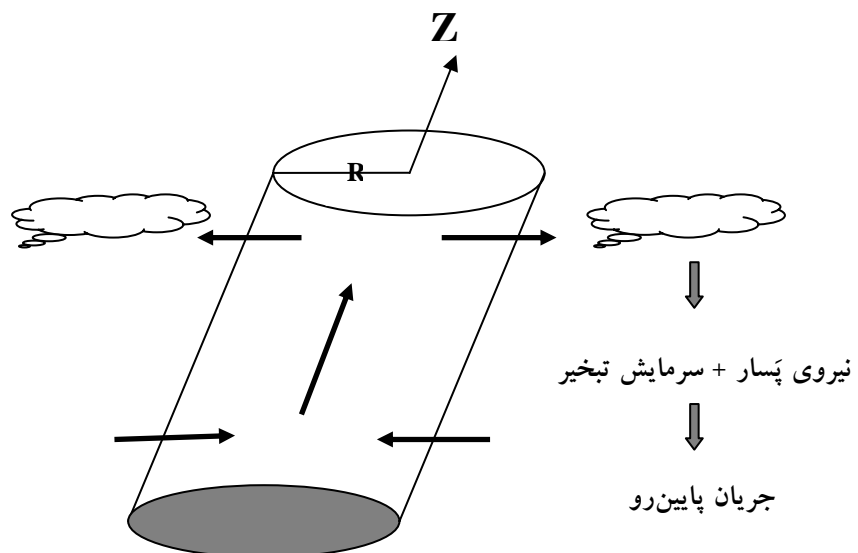
در واقع همه طرح‌واره‌های پارامترسازی همrfت شکل ساده‌ای از مدل یک‌بعدی ابر همrfتی را برای توزیع اثرات همrfت در جهت قائم به کار می‌برند. مدل یک‌بعدی ابر به کاررفته در این طرح‌واره‌ها می‌تواند نقش بسزایی در شار قائم جرم، نمایه گرمایش، نمایه خشکی و

فقط جریان بالارو را در نظر می‌گیرد، به حساب می‌آید. در مدل چن و سان (۲۰۰۴)، علاوه بر پریشیدگی فشار غیرهیدروستاتیک، فرایندهای کامل خردفیزیکی ابر، اثر درون‌آمیختگی-برون آمیختگی، اختلاط پیچکی جانبی، و اختلاط پیچکی قائم در یک مدل ابر یکبعدی قائم وابسته به زمان، اثرات جریان پایین رو، شعاع ابر، و اثرات کج شدگی در نظر گرفته شده‌اند. در ادامه، در بخش ۲ جزئیات مدل ETTM، در بخش ۳ روش‌های عددی و پارامترسازی خردفیزیک مورد استفاده در مدل ETTM، در بخش‌های ۴ و ۵ نحوه اجرای مدل و نتایج و بحث و در خاتمه نتیجه‌گیری عرضه می‌شوند.

## ۲ توصیف مدل ETTM

مدل ETTM شامل یک جریان بالارو و یک جریان با پایین رو است و معادلات دینامیکی و ترمودینامیکی مشابهی بر جریان بالارو و پایین رو حاکم است. جریان بالارو با یک حباب گرمایی مرطوب آغاز می‌شود و سپس جریان پایین رو به جای اینکه به دلخواه شروع شود، در اثر سرمایش تبخیر-تصعید و نیروی پسار (drag) بارش از جریان بالارو جدا می‌شود (شکل ۱).

کج شدگی در ابرهای همرفتی اغلب قابل مشاهده است و این ویژگی، عمر ابر و آهنگ بارش را تحت تاثیر قرار می‌دهد. جریان پایین رو در اینگونه ابرها که در کنار جریان بالارو گسترش می‌یابد نیز اهمیت دارد. کج شدگی ابر به چینش باد محیط می‌تواند وابسته باشد. در این تحقیق سعی بر این است که برای نمایش موثر و واقعی اثرات ابرهای همرفتی با مقیاس زیرشبکه، یک مدل ابر یکبعدی کج وابسته به زمان صریح که چن و سان (۲۰۰۴) معرفی کرده‌اند، در شیوه‌سازی ابرهای کوچک مورد استفاده قرار گیرد. یکی از دلایل اصلی پارامتر کردن کج شدگی (که به دلیل چینش باد در ابرها وجود دارد) این است که مقداری از بارش لایه ابر را ترک می‌کند. این امر از این جهت اهمیت دارد که بارشی که در جریان بالارو باقی می‌ماند با شناوری مثبت مخالفت می‌کند و چرخه عمر ابر را کوتاه‌تر می‌کند و بنابراین برای نمایش واقعی اثرات ابرهای همرفتی داشتن یک جریان بالاروی کج و شروع یک جریان پایین رو اهمیت دارد. مدل ETTM در واقع شکل بهبودیافته مدل ابر یکبعدی قائم چن و سان (۲۰۰۲)، مدل صریح وابسته به زمان (Explicit Time- depending cloud mode, ETM



شکل ۱. توصیفی کلی از مدل ETTM را نشان می‌دهد.

$(p_{nh})$  و فشار هیدرولوستاتیک (فشار محیط،  $p_0$ ) تقسیم می شود.

معادله انرژی ترمودینامیکی:

$$\frac{\partial \theta_{ei}}{\partial t} = -u \frac{\partial \theta_{ei}}{\partial x} - v \frac{\partial \theta_{ei}}{\partial y} - w \frac{\partial \theta_{ei}}{\partial z} - \frac{1}{C_p} \\ (L_v q_v - L_f q_i) \frac{d}{dt} \left( \frac{\theta}{T} \right) + \text{micro}(\theta_{ei}) \quad (4)$$

که  $\theta_{ei}$  دمای پتانسیلی معادل یخ نامیده شده (چن و سان ۲۰۰۲) و به شکل زیر تعریف می شود،

$$\theta_{ei} = \theta \left[ 1 + \left( \frac{L_v q_v}{C_p T} - \frac{L_f q_i}{C_p T} \right) \right] \quad (5)$$

در این رابطه  $L_v$ ،  $L_f$ ،  $q_v$ ،  $T$ ،  $q_i$  و  $q_i$  به ترتیب گرمای نهان تبخیر، گرمای نهان ذوب، دما و نسبت های اختلاط بخار آب و یخ ابر هستند.

معادله پیوستگی:

$$\frac{\partial u}{\partial x} + \frac{\partial v}{\partial y} + \frac{1}{\rho} \frac{\partial (\rho w)}{\partial z} = 0 \quad (6)$$

معادلات پیوستگی مواد آب:

$$\frac{\partial q_x}{\partial t} = -u \frac{\partial q_x}{\partial x} - v \frac{\partial q_x}{\partial y} - w \frac{\partial q_x}{\partial z} + P_x \quad (7)$$

$$\frac{\partial q_y}{\partial t} = -u \frac{\partial q_y}{\partial x} - v \frac{\partial q_y}{\partial y} - w \frac{\partial q_y}{\partial z} + \frac{1}{\rho} \frac{\partial (\rho V_{ly} q_y)}{\partial z} + P_y \quad (8)$$

در اینجا،  $q_x$  نسبت اختلاط بخار آب ( $q_v$ )، آب ابر ( $q_c$ ) و یخ ابر ( $q_i$ ) و  $q_y$  نسبت اختلاط آب باران ( $q_r$ )، برف ( $q_s$ ) و گویچه برف (graupel) ( $q_g$ ) است. سرعت حد بارش (آب باران، برف و گویچه برف)،  $P_x$  و  $P_y$  جمله های تولید خردیزیکی  $q_x$  و  $q_y$  هستند. برای اینکه به طور طبیعی قادر به شبیه سازی ابرهای

جريان بالارو توانایی باز تولید ویژگی های مهم یک ابر عمیق از جمله سرمایش واژگونی (overshooting) (cooling) بالای قله ابر، سرمایش تبخیر نزدیک سطح، و خشک شدن در ورد سپهر زیرین در مراحل میرایی را دارد. آهنگ درون آمیختگی - برون آمیختگی در این مدل در نظر گرفته شده و تغییرات زمانی آن کاملاً محسوس است. علاوه بر این، بعد از هم رفت عمیق نیمرخ قائم هوای داخل جريان بالارو از بی درروی تر پیروی نمی کند. بارش و شار جرم کل جريان پایین رو در سطوح پایین قابل صرف نظر کردن نیست. همچنین، جريان پایین رو می تواند هوای خشک را از سطوح میانی به سطوح پایین تر منتقال دهد.

## ۱-۲ معادلات حاکم بر مدل ETTM

معادلات حاکم بر این مدل ابر در مختصات دکارتی به صورت زیر است. معادلات تکانه:

$$\frac{\partial u}{\partial t} = -u \frac{\partial u}{\partial x} - v \frac{\partial u}{\partial y} - w \frac{\partial u}{\partial z} - \frac{1}{\rho} \frac{\partial p_{nh}}{\partial x} \quad (1)$$

$$\frac{\partial v}{\partial t} = -u \frac{\partial v}{\partial x} - v \frac{\partial v}{\partial y} - w \frac{\partial v}{\partial z} - \frac{1}{\rho} \frac{\partial p_{nh}}{\partial y} \quad (2)$$

$$\frac{\partial w}{\partial t} = -u \frac{\partial w}{\partial x} - v \frac{\partial w}{\partial y} - w \frac{\partial w}{\partial z} - \frac{1}{\rho} \frac{\partial p_{nh}}{\partial z} \\ -g \left( \frac{R_d}{C_p} \right) \frac{p_{nh}}{p_0} - g Q_T \quad (3)$$

که  $u$ ،  $v$ ،  $w$ ،  $C_p$ ،  $R_d$ ،  $\rho$ ،  $y$ ،  $z$  و  $x$  به ترتیب سرعت ها در جهت های  $x$ ،  $y$  و  $z$ ، چگالی، ثابت گاز برای هوای خشک و گرمای ویژه هوا در فشار ثابت اند.  $Q_T$  بارش کل و  $-g Q_T$  نیروی پسار حاصل از وزن بارش است. اندیس ( $_0$ ) نشانگر مقادیر محیطی است. فشار کل ( $p$ ) در داخل ابر به دو بخش پریشیدگی فشار غیر هیدرولوستاتیک

$$\frac{\partial \theta_{ei}}{\partial t} = -\frac{1}{r} \frac{\partial(rU\theta_{ei})}{\partial r} - \frac{1}{\rho} \frac{\partial(\rho W\theta_{ei})}{\partial Z} + \frac{1}{C_p} (L_v q_v - L_f q_i) \frac{d}{dt} \left( \frac{\theta}{T} \right) + \text{micro}(\theta_{ei}) \quad (10)$$

$$\frac{1}{r} \frac{\partial(rU)}{\partial r} + \frac{1}{\rho} \frac{\partial(\rho W)}{\partial Z} = 0 \quad (11)$$

$$\frac{\partial q_x}{\partial t} = -\frac{1}{r} \frac{\partial(rUq_x)}{\partial r} - \frac{1}{\rho} \frac{\partial(\rho Wq_x)}{\partial Z} + P_x \quad (12)$$

$$\begin{aligned} \frac{\partial q_y}{\partial t} &= -\frac{1}{r} \frac{\partial(rUq_y)}{\partial r} - \frac{1}{\rho} \frac{\partial(\rho Wq_y)}{\partial Z} + R_{in} \frac{b}{\rho} \frac{\partial(\rho V_t q_y)}{\partial Z} \\ &\quad - \frac{a}{\rho} \cos \varphi \frac{\partial(V_t q_y)}{\partial r} + P_y \end{aligned} \quad (13)$$

نسبت بارش باقیمانده در جریان بالاروی کج است (برای جزئیات به انتهای بخش بعد مراجعه شود) و

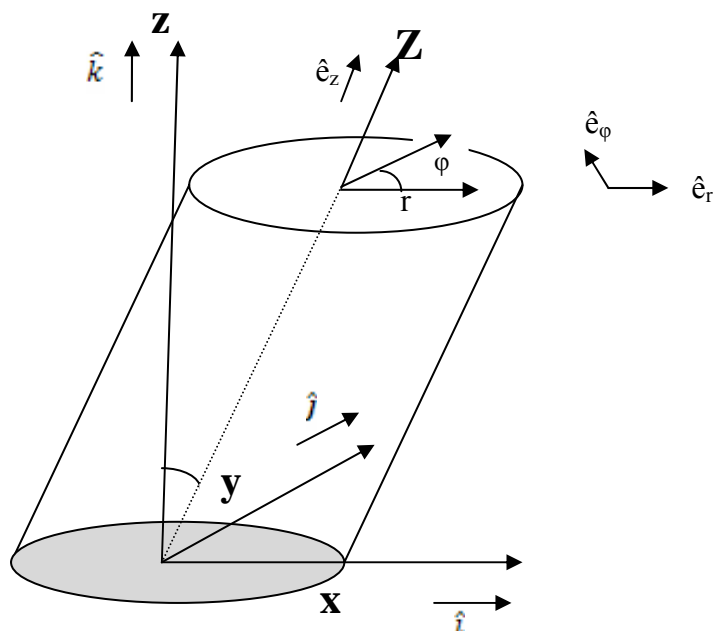
$$B = g \left[ \frac{\theta_v - \theta_{v0}}{\theta_v} + \left( \frac{R}{C_p} - 1 \right) \frac{p_{nh}}{p_0} - Q_T \right]. \quad (14)$$

کج باشیم، نیاز داریم که معادلات حاکم بر ETTM در مختصات دکارتی را به مختصات استوانه‌ای کج تبدیل کنیم. شکل ۲ ساختار کلی از دو مختصات را نشان می‌دهد. بردارهای پایه و مولفه‌ها در مختصات دکارتی (مختصات استوانه‌ای کج)  $i, j, k$  و  $e_z, e_r, e_\varphi$  هستند.

با درنظر گرفتن فرض تقارن محوری نسبت به محور کج در محیط ابر ( $\partial/\partial\varphi = 0$ ) که به منظور سادگی در مدل فرض شده است.

معادلات تکانه قائم، ترمودینامیک، پیوستگی و معادلات پیوستگی مواد آب در مختصات استوانه‌ای کج به صورت زیر توصیف می‌شوند:

$$\begin{aligned} \frac{\partial W}{\partial t} &= -\frac{1}{r} \frac{\partial(rUW)}{\partial r} - \frac{1}{r} \frac{\partial(rWW)}{\partial Z} - \\ &\quad \frac{b^2}{r} \frac{\partial p_{nh}}{\partial Z} + bB + ab \frac{\cos \varphi}{r} \frac{\partial p_{nh}}{\partial r} \end{aligned} \quad (9)$$



شکل ۲. ساختار کلی دو دستگاه مختصات دکارتی و استوانه‌ای کج را نشان می‌دهد (برگرفته از چن و سان، ۲۰۰۴).

صورت  $P_{nh}(r, Z) = p^*(z) \times J_0(r)$  تعریف می‌شود که  $J_0(r)$  در این تعریف،تابع بسل مرتبه صفر نوع اول است. شعاع ابر ریشه اول  $J_0(x) = 0$  را برآورده می‌کند. در

$$\text{اینجا, } x = \frac{ra}{R} \text{ است که در آن } a = 2.4048 \text{ است.}$$

با میانگین‌گیری افقی، معادلات حاکم به صورت زیر

نتیجه می‌شوند:

$$\begin{aligned} \frac{\partial \bar{D}}{\partial t} &= -\frac{2}{R} (\tilde{U}\dot{D} + U''\dot{D}'') - \frac{1}{\rho} \frac{\partial [\rho(\bar{W}\bar{D} + \bar{D}'\bar{W}')] }{\partial Z} \\ &- \frac{\bar{D}^2}{2} + \frac{2a}{\rho R^2} J_1(a) \bar{p}^*(Z) + \frac{a^2 a}{\rho R^2} J_1(a) \bar{p}^*(Z) \end{aligned} \quad (18)$$

$$\begin{aligned} \frac{\partial \bar{W}}{\partial t} &= -\frac{2}{R} (\tilde{U}\dot{W} + U''\dot{W}'') - \frac{1}{\rho} \frac{\partial [\rho(\bar{W}\bar{W} + \bar{W}'\bar{W}')] }{\partial Z} \\ &- \frac{2b^2 J_1(a)}{\rho a} \frac{\partial \bar{p}^*(Z)}{\partial Z} + bg \frac{\bar{\theta}_v - \theta_{v0}}{\theta_{v0}} - bg \bar{Q}_r \\ &+ bg \left( \frac{R}{C_p} - 1 \right) 2 J_1(a) \frac{\bar{p}^*(Z)}{p_0} \end{aligned} \quad (19)$$

$$\begin{aligned} \frac{\partial \bar{\theta}_{ei}}{\partial t} &= -\frac{2}{R} (\tilde{U}\dot{\theta}_{ei} + U''\dot{\theta}_{ei}'') - \frac{1}{\rho} \frac{\partial [\rho(\bar{W}\bar{\theta}_{ei} + \bar{\theta}'_{ei}\bar{W}')]}{\partial Z} \\ &+ \frac{1}{C_p} (L_v \bar{q}_v - L_f \bar{q}_f) \frac{d}{dt} \left( \frac{\bar{\theta}}{T} \right) + \text{micro}(\bar{\theta}_{ei}) \end{aligned} \quad (20)$$

$$\frac{2}{R} \tilde{U} + \frac{1}{\rho} \frac{\partial (\rho \bar{W})}{\partial Z} = 0 \quad (21)$$

$$\begin{aligned} \frac{\partial \bar{q}_x}{\partial t} &= -\frac{2}{R} (\tilde{U}\dot{q}_x + U''\dot{q}_x'') - \frac{1}{\rho} \frac{\partial [\rho(\bar{W}\bar{q}_x + \bar{q}'_x\bar{W}')]}{\partial Z} + \bar{P}_x \\ &\vdots \end{aligned} \quad (22)$$

$$\begin{aligned} \frac{\partial \bar{q}_y}{\partial t} &= -\frac{2}{R} (\tilde{U}\dot{q}_y + U''\dot{q}_y'') - \frac{1}{\rho} \frac{\partial [\rho(\bar{W}\bar{q}_y + \bar{q}'_y\bar{W}')]}{\partial Z} \\ &+ R_{in} \frac{b}{\rho} \frac{\partial (\rho V_{ty} q_y)}{\partial Z} + \bar{P}_y \end{aligned} \quad (23)$$

$\theta_v$  و  $\theta_{v0}$  به ترتیب دمای پتانسیلی مجازی ابر و محیط اطراف آن هستند. در این مدل، معادله واگرایی به جای معادلات تکانه افقی استفاده شده و به شکل زیر توصیف می‌شود:

$$\begin{aligned} \frac{\partial D}{\partial t} &= -\frac{1}{r} \frac{\partial (rUD)}{\partial r} - \frac{1}{\rho} \frac{\partial (\rho WD)}{\partial Z} - D^2 \\ &+ 2 \frac{U}{r} \frac{\partial U}{\partial r} - \frac{\partial U}{\partial Z} \frac{\partial W}{\partial r} - \frac{1}{r} \frac{\partial}{\partial r} \left( \frac{r}{\rho} \frac{\partial p_{nh}}{\partial r} \right) \\ &- a \cos \varphi \frac{1}{r} \frac{\partial}{\partial r} (rB) + ab \frac{\cos \varphi}{r\rho} \frac{\partial}{\partial r} \left( r \frac{\partial p_{nh}}{\partial Z} \right) \\ &- a^2 \frac{\cos^2 \varphi}{\rho} \left[ \frac{1}{r} \frac{\partial}{\partial r} \left( r \frac{\partial p_{nh}}{\partial r} \right) \right] \end{aligned} \quad (15)$$

که  $D$  (میدان واگرایی در مختصات کج) طبق رابطه زیر به دست می‌آید:

$$D = \frac{1}{r} \frac{\partial (rU)}{\partial r} \quad (16)$$

به دلیل اینکه محدودیت‌های محاسباتی مانع از به کارگیری یک مدل ابر سه‌بعدی در طرح‌واره‌های پارامترسازی همرفت کومه‌ای است، برای کاهش معادلات از سه‌بعدی به یک‌بعدی، علاوه‌بر فرض تقارن محوری، از انتگرال‌گیری افقی نیز طبق روابط مطرح شده آسایی و کاساها (۱۹۶۷) استفاده می‌شود. در مورد هر متغیر داخل ابر ( $A$ )، متوسط سطح افقی ( $\bar{A}$ )، انحراف از متوسط سطح افقی ( $A'$ )، متوسط مرز جانبی ( $\tilde{A}$ ) و انحراف از متوسط مرز جانبی ( $A''$ ) به صورت زیر تعریف می‌شود (کاساها، ۱۹۶۷):

$$\begin{aligned} \bar{A} &= \frac{1}{\pi R^2} \int_0^{2\pi} \int_0^R A r dr d\psi, & A' &= A - \bar{A} \\ \tilde{A} &= \frac{1}{2\pi} \int_0^{2\pi} A d\psi, & A'' &= A - \tilde{A} \end{aligned} \quad (17)$$

بر طبق هولتون (۱۹۷۳) و چن و سان (۲۰۰۲) فرض می‌شود که میدان پریشیدگی فشار غیرهیدروستاتیک به

با استفاده از معادلات (۱۸)، (۱۹) و (۲۱)، معادله فرایانی پریشیدگی فشار به صورت زیر به دست می‌آید:

$$\begin{aligned} \frac{2b^2 J_1}{\alpha} \frac{\partial^2 \bar{P}^*(Z)}{\partial Z^2} - bg \left( \frac{R_d}{C_p} - 1 \right) \frac{2J_1}{\alpha} \frac{\partial}{\partial Z} \left[ \rho \frac{\bar{P}^*(Z)}{p_0} \right] + \frac{(2+a^2)\alpha}{R^2} J_1 \bar{P}^*(Z) = \\ - \frac{2\rho}{R} (\bar{U}\bar{D} + \bar{U}\bar{D}') - \frac{\partial}{\partial Z} \left[ \rho (\bar{W}\bar{D} + \bar{W}\bar{D}') \right] - \rho \frac{\bar{D}^2}{2} - \frac{2}{R} \frac{\partial}{\partial Z} \left[ \rho (\bar{U}\bar{W} + \bar{U}\bar{W}') \right] \\ + g \frac{\partial}{\partial Z} \left( \rho \frac{\bar{\theta}_v - \theta_{v0}}{\theta_{v0}} \right) - \frac{\partial^2}{\partial Z^2} \left[ \rho (\bar{W}\bar{W} + \bar{W}\bar{W}') \right] - bg \frac{\partial}{\partial Z} (\rho \bar{Q}_T) \end{aligned} \quad (۲۷)$$

نسبت بارش باقیمانده در جریان بالارو ( $R_{in}$ )، زاویه کج شدگی ( $\alpha_0$ ) و شعاع ابر (R) سه پارامتری هستند که باید در این مدل تعیین شوند. در این مدل  $\alpha_0$  و R به متزله مقادیر ثابت به مدل خورانده می‌شوند ولی رابطه‌ای برای مقدار  $R_{in}$  در انتهای بخش بعد مطرح می‌شود.

## ۲-۲ جریان پایین رو مدل ETTM

اگر زاویه کج شدگی صفر نباشد، سهمی از بارش جداسده می‌تواند محرك جریانی پایین رو در همان ارتفاع باشد (شکل ۳). نیروی پسار و سرمایش حاصل از تبخیر و تصعید می‌تواند موجب تقویت جریان پایین رو شود. معادلات دینامیکی و ترمودینامیکی، زاویه کج شدگی و فرض تقارن محوری مشابه با جریان بالارو در مورد جریان پایین رو نیز برقرار است. آهنگ درون‌آمیختگی برون‌آمیختگی جریان بالارو، می‌تواند جریان پایین رو را تحت تاثیر قرار دهد. اگر برون‌آمیختگی در جریان بالارو رخ دهد و درون‌آمیختگی در جریان پایین رو همراه آن اتفاق یافتد، مقدار بیشینه ۳۰ درصد از هوای جریان بالارو می‌تواند وارد هوای جریان پایین رو شود در حالی که باقی آن از هوای محیط تامین می‌شود. با وجود این، اگر هیچ برون‌آمیختگی در جریان بالارو در آن لایه رخ ندهد، همه هوای وارد شده در جریان پایین رو از محیط خواهد بود. از آنجا که فرض می‌شود که شعاع جریان پایین رو ۴۰٪ شعاع جریان بالارو باشد (لمون و زیپسر، ۱۹۸۰)، فرایند عکس

اگر فرض کنیم که  $\bar{V}$  اولیه برابر صفر بوده و V در داخل ابر در جهت افقی متقاضن محوری است،  $\bar{V}$  همیشه صفر است. در این مدل به پیروی از اوگارا و تاکاهاشی (۱۹۷۱) و هولتون (۱۹۷۳) از فرضیه تبادل پیچکی استفاده می‌شود. بنابراین در مورد هر متغیر A، فرمول‌های پارامترسازی زیر را خواهیم داشت:

$$\dot{U''A''} = \frac{V}{R} (\bar{A} - A_0) \quad \overline{W'A'} = K_m \frac{\partial(\bar{A})}{\partial Z} \quad (۲۴)$$

در این روابط، A نشان‌دهنده میدان‌های جرم است. با وجود این، اگر A میدان جرم باشد،  $K_h$  جایگزین  $K_m$  می‌شود.  $K_m$  و  $K_h$  به ترتیب وشكسانی جنبش شناختی هوا، ضرب پیچکی تکانه و ضرب پیچکی گرما هستند. رابطه بین  $V$ ،  $K_m$  و  $K_h$  مشابه فرمول‌های مطرح شده اوگارا و تاکاهاشی (۱۹۷۱) است و به شکل زیر بیان می‌شود:

$$K_h = V = 3K_m = 0.1 \times R \times |W| \quad (۲۵)$$

به پیروی از مفهوم عرضه شده آسایی و کاساهارا (۱۹۶۷) در مورد درون‌آمیختگی و برون‌آمیختگی، فرض می‌کنیم که اگر همگرایی رخ دهد ( $U < 0$ ، ویژگی‌های محیط به داخل ابر منتقل می‌شود (درون‌آمیختگی). بر عکس اگر واگرایی رخ دهد ( $U > 0$ ، ویژگی‌های ابر به محیط منتقل می‌شود (برون‌آمیختگی). این ویژگی‌های برون‌آمیخته شده حفظ و به شبکه مدل میان مقیاس خورانده می‌شود. که این مفهوم با روابط زیر به خوبی بیان می‌شود:

$$\left\{ \begin{array}{ll} \tilde{A} = A_0 & \text{اگر } U < 0 \\ \tilde{A} = A & \text{اگر } U > 0 \end{array} \right. \quad (۲۶)$$

در این روابط  $\tilde{A}$  سرعت درون‌آمیختگی یا برون‌آمیختگی را نشان می‌دهد.

### ۳ روش‌های عددی و پارامترسازی خردفیزیک مورد استفاده در مدل ETTM

کد مدل ETTM در دسترس نیست و بنابراین، برنامه رایانه‌ای آن به منظور دستیابی به اهداف این پژوهش به طور مستقل نوشته شده است. پارامترسازی خردفیزیک مورد استفاده بر اساس طرح‌واره خردفیزیک لین و همکاران (چن و سان، ۲۰۰۲) و راتلچ و هوپس (۱۹۸۴) با برخی تغییرات (چن و سان، ۲۰۰۴) است که در این طرح‌واره برهم‌کنش‌های بین شش آب‌شهاب ذکر شده، از جمله تبخیر / تصعید، نهشت / میعان، انجماد، ذوب، انبوهش، برافراش و فرایندهای برجرون در نظر گرفته شده است.

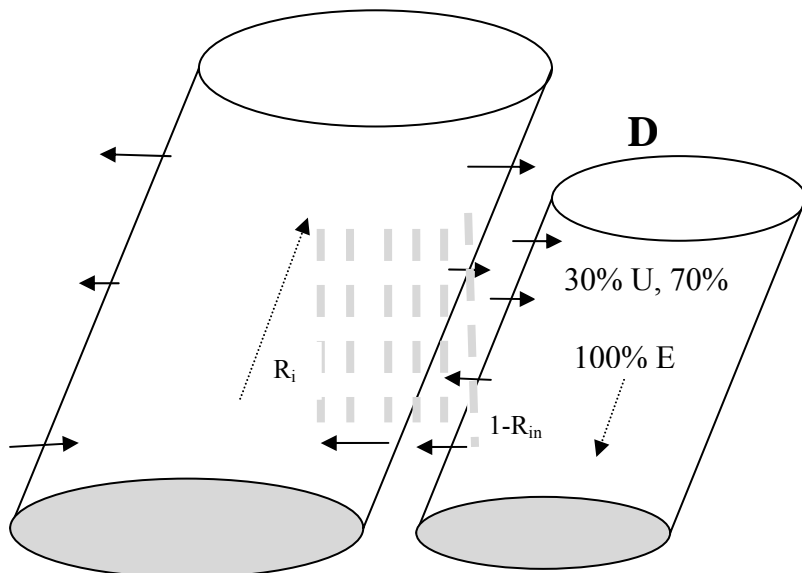
روش‌های عددی تفاضل متاهی به منظور حل معادلات حاکم بر شبیه‌سازی گسترش ابر کومه‌ای با مدل ETTM استفاده شده است. مشتق‌های قائم با طرح‌واره تفاضل متاهی پادجیریان سو و مشتق‌های زمانی با استفاده از طرح‌واره پیش‌سو تقریب زده می‌شوند. میانگین‌گیری

که در آن جریان بالارو تحت تاثیر جریان پایین رو قرار می‌گیرد، رخ نمی‌دهد.

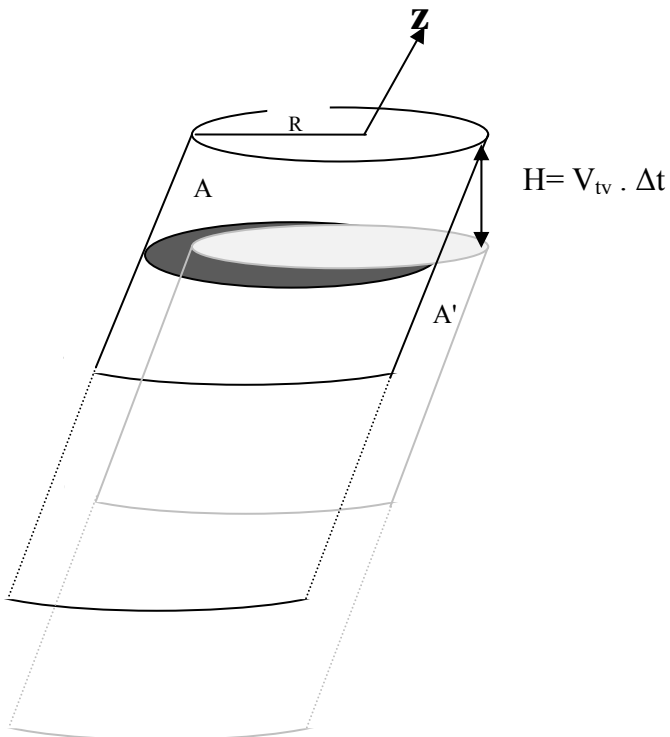
بارشی که در جریان بالارو باقی می‌ماند با نسبت  $R_{in}$  که در واقع نسبت حجم بخش همپوشانی (یا سطح همپوشانی) بین دو ستون کج (یا دو صفحه هاشورزده) به حجم یک ستون کج (سطح صفحه کج) است، بدست می‌آید (شکل ۴). حرف A در این شکل نشان‌دهنده ستون اصلی بارش در جریان بالارو است درصورتی که 'A' ستونی که در جهت پایین به مقدار  $V_{ty} \Delta t$  منتقل شده را نشان می‌دهد. در اینجا،  $R_{in}$  سرعت حد بارش و  $\Delta t$  گام زمانی است. بنابراین،  $R_{in}$  به صورت رابطه زیر تعریف می‌شود که در آن R شعاع جریان بالارو و  $1 - R_{in}$  آهنگ بارش در ستون جریان پایین رو است (چن و سان، ۲۰۰۴):

$$R_{in} = \frac{4R^2 \cos^{-1}\left(\frac{H \tan \alpha_0}{2R}\right) - H \tan \alpha_0 \sqrt{4R^2 - H^2 \tan^2 \alpha_0}}{2\pi R^2} \quad (28)$$

U



شکل ۳. ساختار کلی جریان بالارو (U) و جریان پایین رو (D) در ابر کج: E و  $R_{in}$  به ترتیب نشان‌دهنده محیط و نسبت بارش باقی‌مانده در جریان بالارو هستند. خطوط ضخیم خاکستری رنگ بارش را نشان می‌دهند (برگرفته از چن و سان، ۲۰۰۴).



شکل ۴. نمودار کلی از ستون بارش اصلی ( $A$ ) در جریان بالاروی کج و ستون ( $A'$ ) به اندازه  $H$  در گام زمانی ( $\Delta t$ ) با سرعت حد بارش ( $V_{tv}$ ) در جهت پایین انتقال یافته را نشان می‌دهد. شعاع جریان بالارو برابر  $R$  است (برگرفته از چن و سان، ۲۰۰۴).

می‌شوند. ساختار کدنویسی و اجرای مدل به طور خلاصه شامل ۴ مرحله زیر است:

الف- آماده‌سازی داده‌های ورودی که شامل داده‌های گمانه‌زنی برای آغازگری مدل و نیز داده‌های خروجی از بخش خردفیزیک در هر گام زمانی است.

ب- اعمال شرایط مرزی و تعریف ثابت‌های مدل (برای مثال تعداد ترازها در راستای قائم، قدرت تفکیک قائم و مانند آن).

ج- اجرای مدل ترسیم فایل‌های داده خروجی مدل با استفاده از نرم‌افزار Matlab در ادامه، نحوه محاسبه برخی از جمله‌های معادلات پیش‌یابی (فرارفت قائم، پخش پیچکی قائم، پخش پیچکی جانبی، درون‌آمیختگی-برون‌آمیختگی و شار قائم بارش) مورد بررسی قرار می‌گیرد.

مرکزی ۱-۲-۱ برای سرعت فرارفتی به جهت کاهش میرایی شدید ذاتی طرح‌واره پادرگریان سو به کار می‌رود. طرح‌واره صریح برای پخش پیچکی قائم، طرح‌واره ماتریس سه‌قطربعدی (روش‌های تکرار) برای حل معادله پریشیدگی فشار و طرح‌واره مرکزی در فضا برای محاسبه شارهای قائم باران، برف و گویچه برف استفاده می‌شود. گام زمانی بر مبنای معیار کورانت- فردیکس- لوی (CFL) انتخاب می‌شود.

بیشتر مدل‌های میان‌مقیاس، روش تفاضل متناهی را به خاطر سادگی نسبی این روش برای کدنویسی و نیز سادگی مفهومی آن به کار می‌برند. این روش در واقع جمله‌های تفاضلی، از جمله زمان را با یک یا دو جمله در یک بسط سری تیلور تقریب می‌زند. در این تحقیق، معادلات مدل ETTM با استفاده از روش‌های تفاضل متناهی با یک بازه مکانی ثابت در جهت قائم حل

در مورد سرعت صفر هیچ فرارفتی به یک نقطه شبکه‌ای رخ نمی‌دهد. در این مدل، این موضوع مانع از رشد ابر به بالاتر از تراز پریشیدگی اولیه می‌شود. اگر ناحیه‌ای از جریان پایین روی ناحیه‌ای از جریان بالارو قرار بگیرد، سهم‌های فرارفت مسئله به دو مسئله مجزا و جفت‌نشده تقسیم می‌شود. تنها اثرات جفت‌شده‌گی بین دو ناحیه در سهم‌های غیرفارفتی مسئله (یعنی، نیروی گرادیان فشار) یا در میدان‌های فرارفت یافته با سرعت‌های دیگر (یعنی میدان‌های آب شهاب‌ها) خواهد بود.

یک روش برای غلبه بر این نارسايی‌ها، درنظر گرفتن سرعت فرارفتی در حکم متوسط  $\bar{W}$  در تعدادی از نقاط شبکه یا به صورت معادل یک میدان سرعت هموار شده است. ساده‌ترین روش درنظر گرفتن سرعت فرارفت به صورت زیر است:

$$\begin{aligned}\bar{W}_k &= \frac{1}{2}(W_k + W_{k+1}) \quad , \quad W_k \geq 0 \\ \bar{W}_k &= \frac{1}{2}(W_k + W_{k+1}) \quad , \quad W_k < 0\end{aligned}\quad (30)$$

که این روش به دلیل جفت‌نشدگی مسئله فرارفت برای نقاط شبکه‌ای زوج و فرد، به جواب‌های واگرا منتهی می‌شود و پذیرفته شده نیست. روش انتخابی ما برای درنظر گرفتن سرعت فرارفتی به پیروی از وايسنر و همکاران (۱۹۷۲) و پارک و دروگ مییر (۱۹۹۷) به صورت میانگین گیری ۱-۲-۱ است:

$$\bar{W}_k = \frac{1}{4}(W_{k-1} + 2W_k + W_{k+1}) \quad (31)$$

که این روش از مسئله جفت‌نشدگی جلوگیری می‌کند.

### ۲-۳ پخش پیچکی قائم

پخش در واقع تعبیری ماکروسکوپی از فرارفت میکروسکوپی است. در اینجا "میکروسکوپی" به مقیاس‌هایی که با مدل به طور صریح تفکیک نمی‌شوند و

### ۱-۳ فرارفت قائم

تقریب به کاررفته در این تحقیق در مورد فرارفت قائم برای همه متغیرهای پیش‌بایی، تفاضل‌گیری پیش‌سو-پادجریان سو است که به صورت زیر تعیین می‌شود:

$$\begin{aligned}\frac{\partial \bar{A}}{\partial \tau} &= -\bar{W} \frac{\partial \bar{A}}{\partial Z}; \frac{A_{k+1}^{\tau+1} - A_k^{\tau}}{\Delta \tau} = \\ \begin{cases} -W_k^{\tau} \frac{A_{k+1}^{\tau} - A_k^{\tau}}{\Delta Z}, & W_k \leq 0 \\ -W_k^{\tau} \frac{A_k^{\tau} - A_{k-1}^{\tau}}{\Delta Z}, & W_k > 0 \end{cases}\end{aligned}\quad (29)$$

در اینجا، علامت بار برای سادگی حذف شده است.  $\tau$  برای نشان دادن تعداد گام‌های زمانی و  $k$  به منظور نشان دادن مکان نقطه شبکه‌ای در جهت  $Z$  استفاده می‌شود.  $(\tau) = Z = k(\tau+1) - Z(k)$  و  $\Delta \tau = \tau(\tau+1) - \tau(\tau)$  به ترتیب بازه‌های زمانی و مکانی شبکه و  $W_k^{\tau}$  سرعت فرارفت در  $t = \tau \Delta t$  و  $Z = k \Delta Z$  است. متغیر وابسته  $(\bar{A})$  می‌تواند به هر متغیر وابسته‌ای در مدل نسبت داده شود. معادله سمت راست معادله (۲۹) یک معادله تفاضلی نامیده می‌شود. علت نام‌گذاری این طرح‌واره به منزله تفاضل‌گیری پیش‌سو-پادجریان سو آن است که مشتق مکانی در جهت پادجریان سو نسبت به نقطه شبکه‌ای ارزیابی می‌شود.

این طرح‌واره به آن دلیل که یکی از پایدارترین روش‌ها است (برای جزئیات بیشتر راجع به پایداری طرح‌واره به پیلکه ۲۰۰۲ مراجعه شود) و نیز به حافظه و زمان محاسباتی کمتری نیاز دارد، برای حل معادله فرارفت انتخاب شده است. در این طرح‌واره  $W$  روی دو نقطه شبکه‌ای متوسط‌گیری می‌شود یکی زیر نقطه و قطبی  $W \geq 0$  است و دیگری بالای آن نقطه و قطبی  $W < 0$  است. وايسنر و همکاران (۱۹۷۲) اشاره کردند که جواب‌های مدل به روش به کار رفته در تعریف سرعت فرارفتی می‌تواند حساس باشد. درنظر گرفتن سرعت فرارفتی  $\bar{W}_k = W_k$  دو نارسايی عمده دارد:

(۳۴) به شکل زیر نوشته می‌شود:

$$\begin{aligned} A_{k+1}^{\tau+1} - A_k^{\tau} &= \kappa_{\frac{k+1}{2}} (A_{k+1}^{\tau} - A_k^{\tau}) \\ &- \kappa_{\frac{k-1}{2}} (A_k^{\tau} - A_{k-1}^{\tau}) \end{aligned} \quad (35)$$

که برای سادگی ترکیب‌های بی بعد زیر را تعریف می‌کنیم

$$\kappa_{\frac{k+1}{2}} \equiv \frac{K_{\frac{k+1}{2}} \Delta t}{(\Delta Z)^2}, \quad \kappa_{\frac{k-1}{2}} \equiv \frac{K_{\frac{k-1}{2}} \Delta t}{(\Delta Z)^2} \quad (36)$$

در این روابط

$$K_{\frac{k+1}{2}} \equiv \frac{K_{k+1} + K_k}{2}, \quad K_{\frac{k-1}{2}} \equiv \frac{K_k + K_{k-1}}{2} \quad (37)$$

است. برای محاسبه  $K_m$  و  $K_h$ ، به ترتیب ضرایب پخش پیچکی در مورد متغیرهای تکانه و جرم از فرمول‌های تبادل پیچکی اوگارا و تاکاهاشی (۱۹۷۱) و هولتون (۱۹۷۳) استفاده می‌کنیم:

$$K_h = v = 3K_m = 0.1R |W| \quad (38)$$

و شکسانی جنبش شناختی هوا، می‌باشد.

### ۳-۳ پخش پیچکی جانبی

در مورد هر متغیر  $A$  جمله پخش پیچکی جانبی به صورت  $\widetilde{U''A'}$  است که با رابطه زیر پارامترسازی می‌شود:

$$\widetilde{U''A'} = \frac{v}{R} (\bar{A} - A_0) \quad (39)$$

که در این مدل فرضیه تبادل پیچکی به پیروی از اوگارا و تاکاهاشی (۱۹۷۱) و هولتون (۱۹۷۳) استفاده شده است. در رابطه فوق  $A_0$  نشان‌دهنده مقدار محیطی در مورد هر کمیت است و شکسانی جنبش شناختی هوا (۷) از رابطه (۳۸) محاسبه می‌شود.

در واقع مقیاس‌های زیرشبکه‌اند، اطلاق می‌شود.

به طور کلی پخش در سه بعد صورت می‌گیرد ولی اغلب در علوم جوی فقط پخش قائم، یعنی پخش یک بعدی مورد بررسی قرار می‌گیرد (رندا، ۲۰۰۵). در این مدل، فرایند پخش یک بعدی به شکلی ساده در مورد هر متغیر وابسته مدل ( $\bar{A}$ ) به صورت زیر نمایش داده می‌شود:

$$\frac{\partial \bar{A}}{\partial t} = - \frac{\partial F_A}{\partial Z} \quad (32)$$

در اینجا  $F_A$  شار  $A$  در نتیجه پخش است. در واقع در این بخش، اثرات انتقال قائم پیچکی تکانه، گرمای و رطوبت در ابر، پارامتر می‌شود. روش پخش گرادیان یا بستار تلاطم مرتبه اول ( $K$  نظری) که به یک ضریب پخش پارامترسازی  $F_A$  مورد استفاده قرار می‌گیرد:

$$F_A = -K \frac{\partial \bar{A}}{\partial Z} \quad (33)$$

از نظر فیزیکی کاربردهای معنادار از رابطه (۳۳) در صورتی امکان‌پذیر است که  $K \geq 0$ . با جایگزینی رابطه (۳۳) در معادله (۳۲) رابطه زیر را خواهیم داشت:

$$\frac{\partial \bar{A}}{\partial t} = \frac{\partial}{\partial Z} \left( K \frac{\partial \bar{A}}{\partial Z} \right) \quad (34)$$

بهترین طرح‌واره برای معادله پخش طرح‌واره ضمنی است ولی این طرح‌واره تعداد معادلات هم‌زمان را افزایش می‌دهد و لذا از نظر هزینه محاسباتی به صرفه نیست. (Dufort-fankel) طرح‌واره نیمه‌ضمنی دوفورت-فرانکل نیز با اینکه ناپایدار شرطی و پیاده‌سازی آن ساده است ولی در بازه‌های زمانی بزرگ بدرفتار است. لذا، در این مدل، تقریب عددی صریح به منظور گسسته‌سازی پخش قائم برای همه متغیرهای پیش‌یابی را به کار می‌بریم (برای جزئیات بیشتر راجع به پایداری طرح‌واره به رندا ۲۰۰۵ مراجعه شود) که در نتیجه مانسته تفاضل متناهی معادله

سرعت حد برف (بین ۵ و  $3 \text{ ms}^{-1}$ ) و سرعت حد تگرگ (بین ۱۰ و  $40 \text{ ms}^{-1}$ ) است. شار قائم ذرات بارش به شکل زیر نوشته می‌شود:

$$\frac{1}{\rho} \frac{\partial}{\partial Z} (\rho V_{ty} q_y) = V_{ty} \frac{\partial}{\partial Z} (q_y) + \frac{q_y}{\rho} \frac{\partial}{\partial Z} (\rho V_{ty}) \quad (42)$$

برای گسته‌سازی جمله اول سمت راست معادله فوق ابتدا آن را با جمله فرارفت قائم این ذرات بارش ترکیب و سپس با استفاده از تفاضل گیری پیش‌سو-پاد جریان سو به صورت زیر گسته‌سازی می‌کنیم:

$$(V_y - W) \frac{\partial q_y}{\partial Z} \approx \begin{cases} (V_{y_{k+1}} - W_k) \frac{q_{y_{k+1}} - q_{y_k}}{\Delta Z}, & V_{y_{k+1}} - W_k \leq 0 \\ (V_{y_k} - W_k) \frac{q_{y_k} - q_{y_{k+1}}}{\Delta Z}, & V_{y_k} - W_k > 0 \end{cases} \quad (43)$$

و در مورد جمله دوم معادله (۴۲) طرح واره تفاضل گیری مرکزی به شکل زیر به کار برده می‌شود:

$$\frac{q_y}{\rho} \frac{\partial}{\partial Z} (\rho V_{ty}) \approx \frac{q_{y_k}}{\rho_k} \left( \frac{\rho_{k+1} V_{ty_{k+1}} - \rho_{k-1} V_{ty_{k-1}}}{2\Delta Z} \right) \quad (44)$$

#### ۴ اجرای مدل ETTM

همرفت در مدل ETTM با استفاده از یک پریشیدگی دمای پتانسیلی بر مبنای رابطه زیر آغازگری می‌شود (چن و سان، ۲۰۰۴):

$$\theta' = 0.367 \sin \left( \frac{\pi z}{1500} \right), \quad z \leq 1500 \text{ m} \quad (45)$$

یک گمانه‌زنی ایدئال در حکم داده‌های ورودی دما، رطوبت نسبی و فشار محیط (شکل ۵) مورد استفاده قرار می‌گیرد. این گمانه‌زنی در ۲۰ مه ۱۹۹۷ در حین توفانی روی دلسيتی (Delcity) اوکلاهما اندازه‌گیری شده است. نیم‌رخ قائم سرعت و جهت باد طوری تغییر یافته است که

#### درون آمیختگی و برون آمیختگی

سرعت درون آمیختگی ( $\tilde{U}$ ) براساس رابطه پیوستگی جرم و با استفاده از میدان  $W$  به صورت زیر محاسبه می‌شود:

$$\tilde{U}_k = \frac{-R}{2\rho_k} \left( \frac{\rho_{k+1} W_{k+1} - \rho_{k-1} W_{k-1}}{2\Delta Z} \right) \quad (40)$$

در مورد هر متغیر  $A$  جمله درون آمیختگی و برون آمیختگی به صورت  $\frac{-2}{R} \tilde{U} \tilde{A}$  است. برای محاسبه این بخش از معادلات، فرض می‌شود که اگر همگرایی رخ دهد ( $\tilde{U} < 0$ )، ویژگی‌های محیط به داخل ابر منتقل می‌شود (درون آمیختگی). بر عکس اگر واگرایی رخ دهد ( $\tilde{U} > 0$ )، ویژگی‌های برون آمیخته شده حفظ شده و به شبکه مدل میان مقایس خورانده می‌شود. بنابراین برای هر متغیر  $A$  این مفهوم با روابط زیر به خوبی بیان می‌شود:

$$\begin{cases} \tilde{A} = A_0 & \text{اگر } \tilde{U} < 0 \\ \tilde{A} = A & \text{اگر } \tilde{U} > 0 \end{cases} \quad (41)$$

در این روابط  $\tilde{U}$  سرعت درون آمیختگی یا برون آمیختگی را نشان می‌دهد.

#### شار قائم بارش

خردفیزیک مدل ETTM شش نوع آب شهاب (بخار آب، آب ابر، یخ ابر، باران، برف و گویچه برف) که همگی پارامتر شده‌اند، را شامل می‌شود. در این مدل فرض می‌شود که ذرات آب ابر و یخ ابر به حدی کوچک باشند که سرعت‌های حد آنها در مقایسه با سرعت هوا، باران، برف و گویچه برف (تگرگ) قابل صرف نظر کردن باشند. باران، برف و تگرگ دارای سرعت‌های حد قابل ملاحظه‌ای هستند. سرعت حد باران (بین ۳ و  $10 \text{ ms}^{-1}$ ،

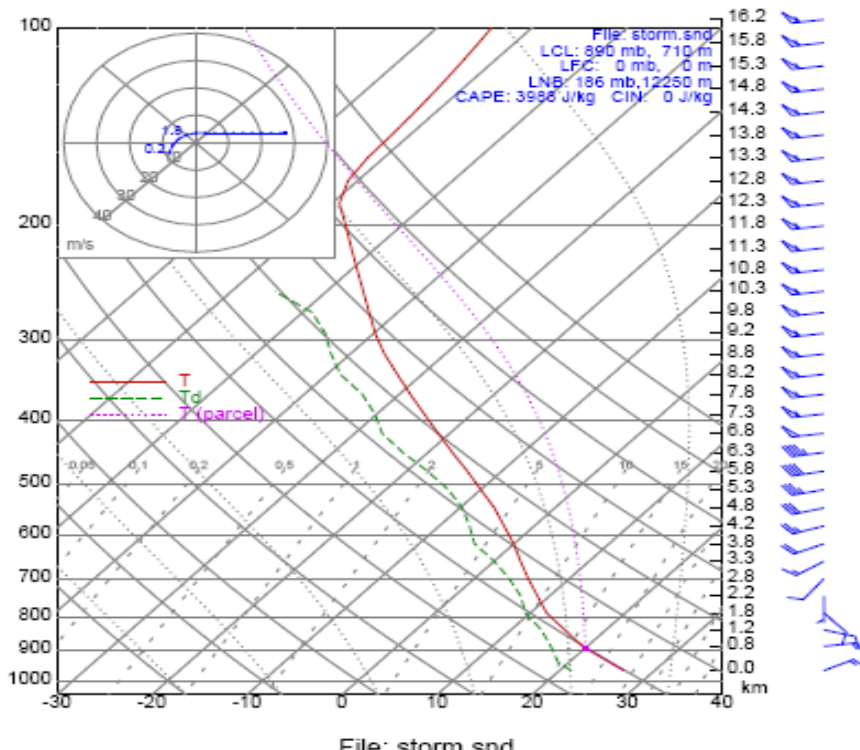
الف- ابتدا سرعت درون آمیختگی براساس رابطه پیوستگی جرم و با استفاده از میدان  $W$  محاسبه می‌شود.

ب- نسبت‌های اختلاط اولیه ابر، باران و آب جامد در همه ترازها صفر هستند. مقادیر  $W$ ,  $\theta_{ei}$ ,  $q_v$ ,  $q_i$ ,  $q_s$  و  $q_e$  در اولین گام زمانی با درنظر گرفتن جمله‌های دینامیکی در معادلات پیش‌یابی محاسبه می‌شوند.

ج- مقادیر دمای پاتنسیلی معادل بخ و نسبت‌های اختلاط شش نوع آب‌شهاب درنظر گرفته شده در مدل در گام زمانی بعد با وارد کردن جمله‌های چشممه و چاهه خردفیزیکی محاسبه می‌شوند. به عبارت دیگر از این مرحله به بعد بخش خردفیزیک با بخش دینامیکی جفت شده و در هر گام زمانی محاسبات مربوط به خردفیزیک مسئله نیز صورت می‌گیرد.

میدان ساده‌تری از باد با یک چرخش در سرعت باد به دست آید. در راستای قائم، محاسبات در محدوده ۱۷ کیلومتر از سطح زمین با توان تفکیک ۵۰۰ متر (۳۴ تراز) است. گام زمانی انتخابی برابر با ۱ ثانیه و طول زمان ETTM انتگرال گیری برابر با ۷۰ دقیقه است. مدل ETTM همچنین به داده‌های ورودی زاویه کج شدگی و شعاع سلول‌های جريان بالارو و جريان پایین رو نیاز دارد که براساس شبیه‌سازی سه‌بعدی صورت گرفته با مدل میان‌مقیاس به صورت زیر در نظر گرفته شده‌اند. شعاع جريان بالارو و جريان پایین رو به ترتیب ۴۰۰۰ و ۱۶۰۰ متر انتخاب شده است (شعاع جريان پایین رو ۴۰٪ شعاع جريان بالارو است) و زاویه کج شدگی  $11\frac{1}{2}$  درجه است.

مراحل محاسباتی در مدل ETTM در هر تکرار در طول مدت انتگرال گیری به صورت زیر است:



شکل ۵. گمانهزنی استفاده شده برای آغازگری ETTM که خط پر سرخ، دما ( $^{\circ}\text{C}$ ) و خطچین سبز، دمای نقطه شبنم ( $^{\circ}\text{C}$ ) را نشان می‌دهد.

شکل ۶ تحول زمانی سرعت قائم، بی‌هنگاری‌های دمای پتانسیلی و نسبت اختلاط بخارآب حاصل از سلول‌های جریان بالارو و جریان پایین‌رو در اجرای مدل ETTM را نشان می‌دهد. از زمان تقریبی ۳۰ دقیقه به بعد، سرعت قائم افزایش می‌یابد (شکل ۶ الف). در مورد جریان بالارو، بیشینه سرعت قائم ( $34 \text{ ms}^{-1}$ ) در زمان تقریبی ۴۷ دقیقه و در ارتفاع  $km$  ۱۰ به دست می‌آید. حرکت پایین‌سوی قوی نیز ۱۰ دقیقه بعد از حرکت بالاسو شروع و به مقدار بیشینه  $ms^{-1}$  ۱۱-۱۲ در ارتفاع تقریبی  $km$  ۴ می‌رسد (شکل ۶ ب). از آنجاکه حرکت پایین‌رو به‌واسطه سرمایش تبخیر حاصل از بارش جداسده از جریان بالارو به وجود می‌آید، منطقه بیشینه جریان پایین‌رو در ارتفاعی پایین‌تر از منطقه بیشینه جریان بالارو قرار دارد. به پیروی از چن و سان (۲۰۰۴)، چرخه عمر از نقطه شروع که سرعت قائم مطلق به مقدار بحرانی می‌رسد تا نقطه پایانی که باز مقدار بحرانی سرعت قائم به‌دست آمده و تا انتها حفظ شده‌است، اندازه‌گیری می‌شود. در این تحقیق، این مقدار بحرانی سرعت قائم برای جریان بالارو،  $ms^{-1}$  ۲ و در مورد جریان پایین‌رو مقدار  $ms^{-1}$  ۱- در نظر گرفته شده است. در این شبیه‌سازی چرخه عمر سلول‌های جریان بالارو و جریان پایین‌رو هر دو برابر ۳۰ دقیقه است. بیشینه دمای پتانسیلی در جریان بالارو به  $7K$  در ارتفاع تقریبی  $km$  ۸ می‌رسد که درست در زیر منطقه بیشینه سرعت قائم قرار دارد (شکل ۶ ج). ناحیه‌ای از بی‌هنگاری منفی نیز در بالای قله ابر به واسطه واژگونی که به دلیل درون‌آمیختگی گرما به قله ابر رخ می‌دهد، مشاهده می‌شود. در مورد ستون جریان پایین‌رو، نتایج گرمایش در همه ترازها را نشان می‌دهد (شکل ۶ د). آهنگ‌های گرمایش و سرمایش در ستون جریان پایین‌رو تحت تاثیر آهنگ کاهش دمای محیط (Environmental Lapse Rate, ELR) و فرایندهای

## ۵ نتایج و بحث

مدلی فرضی از ابر هموفتی تک‌سلولی شامل سه مرحله کومه‌ای، بلوغ و میرایی است (والیس و هویز، ۲۰۰۶). در مرحله کومه‌ای، ابر شامل یک ترمال صعودکننده قوی است که در آن سرعت جریان بالارو به سرعت با ارتفاع در حال افزایش است و درون‌آمیختگی در مرزهای جانبی ابر وجود دارد. در همین زمان قله ابر به سمت بالا در حال حرکت است (به‌طور مکانیکی با ترمال‌های زیر پایه ابر واداشته می‌شود).

در مرحله بلوغ، گسترش ابر ادامه می‌یابد تا اینکه ابر به ارتفاعی برابر یا کمی بالاتر از تراز شناوری خشی می‌رسد. در این مرحله، یک گردش پایین‌روی قوی که با منطقه‌ای از باران شدید همپوشانی دارد، آغازگری می‌شود و با نیروی پسار حاصل از وزن بارش حفظ می‌شود. سرمایش حاصل از تبخیر نیز در هوای غیر اشباع زیر ابر و هوای درون‌آمیخته از مرزهای جانبی به وجود می‌آید که منجر به شناوری منفی محسوسی در هوای جریان پایین‌رو می‌شود. بیشینه سرعت‌های قائم جریان بالارو معمولاً در منطقه میانی ابر و منطقه بروان‌آمیختگی قوی در بالای این تراز رخ می‌دهد.

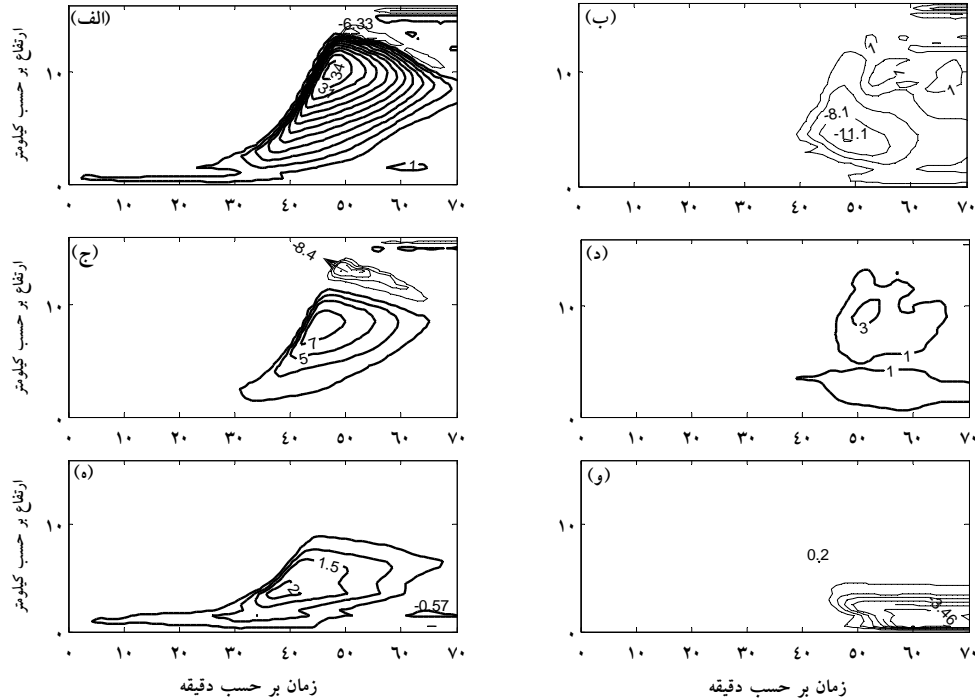
از آنجاکه به دلیل وجود جریان‌های پایین‌روی قوی القایی در ابر، نهایتاً تغذیه هوای مرطوب به ابر از لایه زیرین ابر قطع می‌شود، ابر به مرحله میرایی می‌رسد و بارش قطع می‌شود. در این مرحله جریان پایین‌رو حرکت غالب در کل ابر است. در طول این فاز میرایی، پایه اصلی ابر و فصل مشترک ابر ناپدید می‌شود و ابر با تبخیر از بین خواهد رفت. یکی از دلایل اصلی پارامتر کردن کج شدگی (که به دلیل چینش باد در ابرها وجود دارد) این است که مقداری از بارش تولید شده لایه ابر را ترک می‌کند زیرا بارشی که در جریان بالارو باقی می‌ماند با شناوری مثبت مخالفت می‌کند و چرخه عمر ابر را کوتاه‌تر می‌سازد.

بیشینه سرعت قائم رخ می‌دهد، نشان می‌دهد (شکل ۶). بعد از دقیقه ۶۰ که جریان بالارو به مرحله میرایی می‌رسد، یک روند خشک‌شدن مشاهده می‌شود. این امر همچنین در سلول جریان پایین رو (تقریباً  $\text{gkg}^{-1}$ ) نیز مشاهده می‌شود (شکل ۶) و) که نشان دهنده این حقیقت است که آهنگ مرطوب شدن به واسطه تبخیر از آهنگ خشک‌شدن در نتیجه حرکت پایین رو کوچک‌تر است. شارهای قائم جرم ( $F_m$ )، گرمای ( $F_h$ ) و رطوبت ( $F_q$ ) در مدل ETTM بر طبق روابط زیر محاسبه می‌شوند:

$$\begin{aligned} F_m &= \rho_u W_u B_u + \rho_d W_d B_d \\ F_h &= C_p \rho_u W_u B_u (\theta_u - \theta_0) + C_p \rho_d W_d B_d (\theta_d - \theta_0) \\ F_q &= \rho_u W_u B_u (q_{vu} - q_{v0}) + \rho_d W_d B_d (q_{vd} - q_{v0}) \end{aligned} \quad (46)$$

خردفیزیکی قرار می‌گیرند. اگر ELR کمتر از آهنگ کاهش دمای بی‌درروی خشک باشد، جریان پایین رو یک بی‌هنگاری مثبت خواهد داشت که فرض می‌شود که دما در ناحیه جریان پایین رو مقدار مشابه محیط در همان تراز را دارد. سریو استاوا (۱۹۸۵) در بررسی اثر سرمایش تبخیر جریان پایین رو بر خردانفجار (microburst)، نتیجه گرفت که وقتی ELR به مقدار بی‌درروی خشک نزدیک باشد، جریان پایین روی قوی رخ می‌دهد. در غیر این صورت، شدت جریان پایین رو به مقدار بارش بستگی پیدا می‌کند. چن و سان (۲۰۰۴) آزمایش حساسیت برای مطالعه اثر ELR بر بی‌هنگاری دمای جریان پایین رو را عملی ساخته و به نتیجه مشابهی رسیده‌اند.

تحول زمانی بی‌هنگاری نسبت اختلاط بخارآب بیشینه  $\text{gkg}^{-1}$  ۲۲۳ را در دقیقه ۴۰ که از نظر زمانی قبل از



شکل ۶: تحول زمانی (الف) سرعت قائم ( $\text{ms}^{-1}$ )، (ج) بی‌هنگاری دمای پتانسیلی (K) و (ه) بی‌هنگاری نسبت اختلاط بخارآب ( $\text{gkg}^{-1}$ ) مربوط به جریان بالارو در اجرای مدل ETTM. (ب)، (د) و (و) به ترتیب همانند (الف)، (ج) و (ه) ولی مربوط به جریان پایین رو در اجرای مدل ETTM. بازه پرینتی در مورد سرعت قائم  $\text{ms}^{-1}$ ، دمای پتانسیلی K و نسبت‌های اختلاط  $\text{gkg}^{-1}$  انتخاب شده است.

شیوه‌سازی (۷۰ دقیقه) در شکل ۸ عرضه شده است. در جریان بالارو (شکل ۸ الف)، هوای اشباع (ابر) در زمان تقریبی ۳۰ دقیقه از ارتفاع ۱ تا  $5\text{ km}$  گسترش یافته است. در مرحله بلوغ (۱۰ دقیقه بعد)، این لایه تا  $8\text{ km}$  رشد می‌کند. هوای بالای لایه ابر غیراشباع است. از آنجاکه در ستون جریان بالارو حرکت پایین سو حاکم می‌شود، بعد از این مرحله هوا غیراشباع می‌شود. در زمان تقریبی ۶۰ دقیقه همه لایه تقریباً غیراشباع است. نیمرخ‌های ستون جریان پایین رو (شکل ۸ ب) نشان می‌دهد که ستون هوا همیشه غیراشباع است. درابتدا لایه ابر زیر  $6\text{ km}$  نسبتاً مرتبط‌تر است (توجه کنید که این نیمرخ می‌تواند به صورت گمانه‌زنی محیط رفتار کند و بنابراین برای مقایسه با گمانه‌زنی محیطی برای آغازگری از آن استفاده می‌شود) ولی با گذشت زمان به ویژه در ارتفاع ۲ تا  $6\text{ km}$  خشک‌تر می‌شود. در ۵۰ دقیقه، سطوح زیرین به دلیل تبخیر بارش (که از جریان بالارو جدا شده است) مرتبط باقی می‌مانند اما پس از مدتی نزول قوى هوا حاکم و موجب خشک‌شدن این لایه می‌شود.

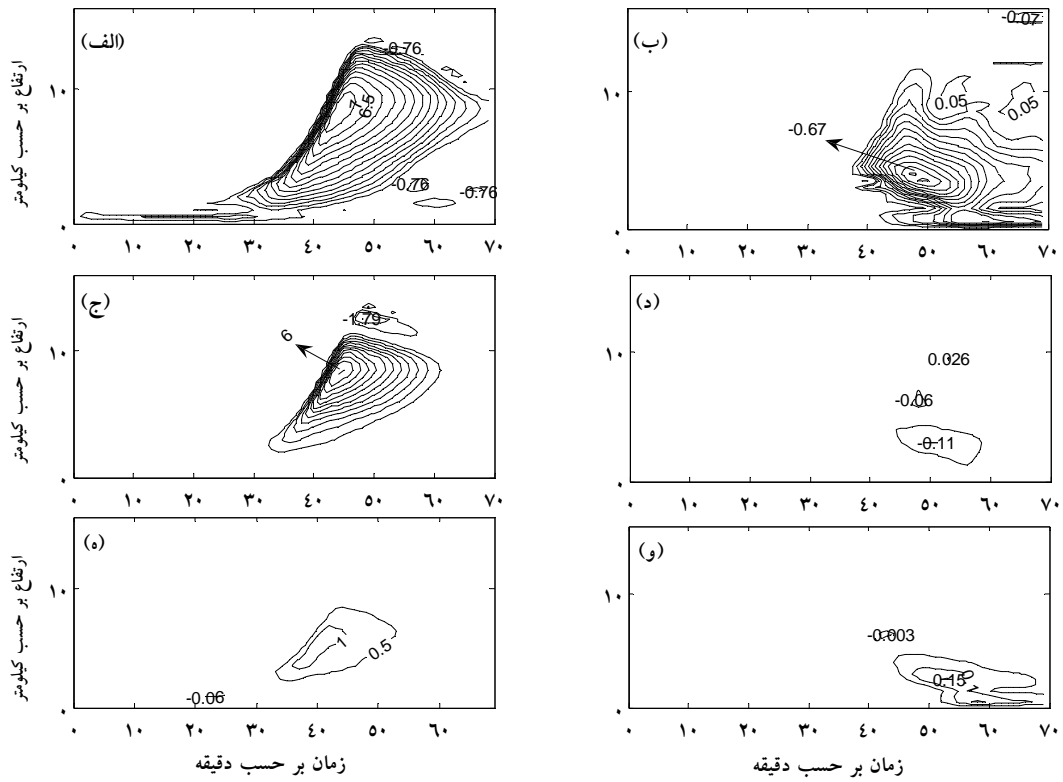
براساس فرمول‌بندی مدل، سهمی از بارش جریان بالارو جدا می‌شود و جریان پایین رو در همان ارتفاع را تحریک می‌کند. بنابراین، بارشی که از این دو ستون به دست می‌آید، به هم جفت‌شده هستند. آهنگ‌های بارندگی در مورد دو ستون جریان‌های بالارو و پایین رو در شکل ۹ نشان داده شده است. همان‌طور که شکل نشان می‌دهد درابتدا بارندگی از میان ستون جریان پایین رو به زمین می‌رسد. بیشینه‌ها درست قبل از دقیقه ۵۰ (وقتی بیشینه سرعت قائم به دست می‌آید) رخ می‌دهد. آهنگ بارندگی در مورد جریان پایین رو بیشتر است ولی با وجود این، بارش کلی جریان بالارو به واسطه سطح پوشش وسیع‌تر، بیشتر است که این، سازگاری نتایج با نتایج چن و سان (۲۰۰۴) را نشان می‌دهد.

اندیس‌های  $u$  و  $d$  به ترتیب نشان‌دهنده مولفه‌های جریان بالارو و جریان پایین رو هستند. شارها روی سطح مقطع‌های افقی دو جریان بالارو ( $B_u$ ) به شاعع  $4000\text{ m}$  و جریان پایین رو ( $B_d$ ) به شاعع  $1600\text{ m}$  محاسبه می‌شوند. مقادیر این شاعع‌ها بر مبنای مرحله بلوغ گسترش ابر کومه‌ای در مدل میان‌مقیاس تعیین می‌شوند.

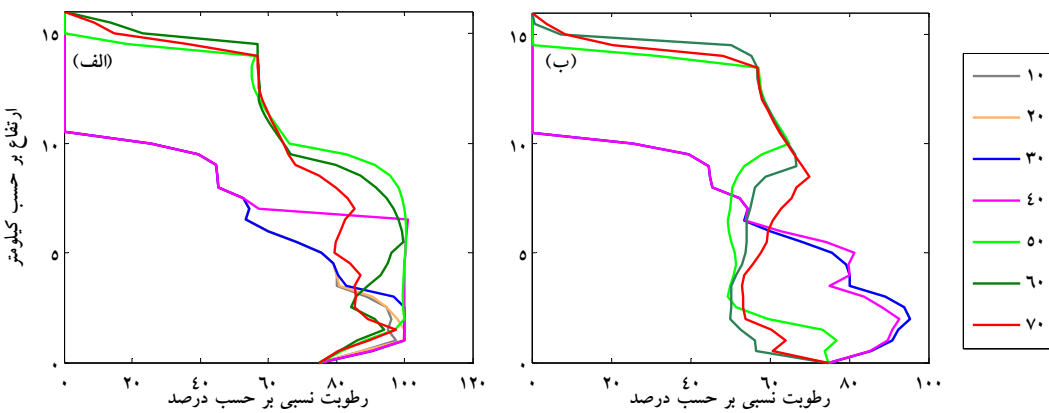
شارهای قائم جرم، گرما و رطوبت در شکل ۷ نشان داده شده‌اند. در مورد جریان بالارو، بیشینه شار جرم برابر  $7 \times 10^8 \text{ kg s}^{-1}$  در ارتفاع تقریبی  $10\text{ km}$  است. در بالا و پایین منطقه بیشینه حرکت بالا، مناطقی از بروون‌آمیختگی (شار منفی) وجود دارد (شکل ۷ الف). از آنجاکه شاعع ستون جریان پایین رو  $40$  درصد شاعع ستون جریان پایین رو فرض شده است، مولفه شار جرم جریان پایین رو، شار پایین سوی نسبتاً ضعیف‌تری را نشان می‌دهد (شکل ۷ ب).

با بررسی شکل مربوط به شار گرمای بالارو منطقه‌ای از شار گرمای منفی در بالای قله ابر مشاهده می‌شود (شکل ۷ ج). شار گرما در این منطقه به دلیل حضور واژگونی پایین سو است. در مورد جریان پایین رو شار گرمای نسبتاً قوى پایین سویی مشاهده می‌شود (شکل ۷ د). ملاحظه می‌شود که این شارها تا حد زیادی تحت تاثیر نیمرخ‌های شیوه‌سازی شده سرعت قائم جریان‌های بالارو و پایین رو قرار می‌گیرند. بررسی شارهای قائم رطوبت نشان می‌دهد که در جریان بالارو مرتبط‌شدن در لایه‌های میانی رخ می‌دهد درحالی که در مورد جریان پایین رو منطقه محسوسی از خشک‌شدن در لایه‌های زیرین در مرحله بلوغ ابر شیوه‌سازی شده مشاهده می‌شود.

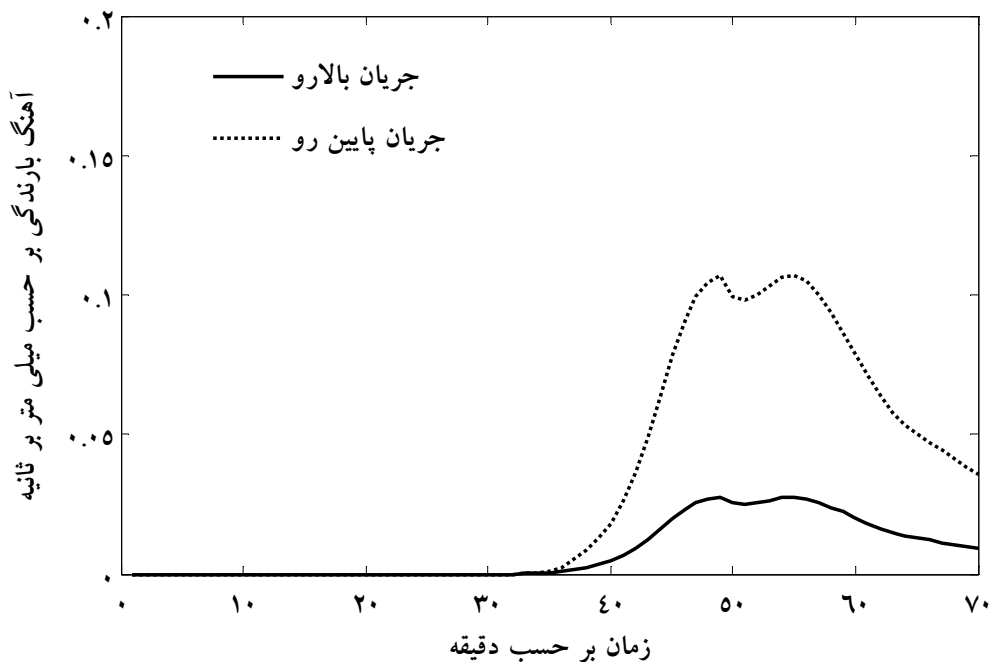
به‌منظور بررسی بیشتر لایه ابر در سلول‌های جریان‌های بالارو و پایین رو، نیمرخ‌های قائمی از رطوبت نسبی در این دو ستون در هر  $10$  دقیقه از کل زمان



شکل ۷. تحول زمانی (الف) شار قائم جرم ( $\times 10^8 \text{ kgs}^{-1}$ )، (ج) شار قائم گرما ( $\times 10^{12} \text{ JS}^{-1}$ ) و (د) شار قائم رطوبت ( $\times 10^6 \text{ JS}^{-1}$ ) مربوط به جریان بالارو در اجرای مدل ETTM. (ب)، (د) و (و) به ترتیب همانند (الف)، (ج) و (ه) مربوط به جریان پایین رو در اجرای مدل ETTM. بازه پرینتی در مورد شارهای جرم، گرما و رطوبت  $0/5$  در واحد هریک از این شارها انتخاب شده است.



شکل ۸. نیمروخهای قائم رطوبت نسبی (الف) جریان بالارو (K)، (ب) جریان پایین رو مدل ETTM در هر ۱۰ دقیقه در طول مدت انگرال‌گیری (۷۰ دقیقه) را نشان می‌دهد. توجه کنید که نیمروخهای دقیقه‌های ۱۰ و ۷۰ کمیت‌های مورد نظر تقریباً برهم منطبق شده‌اند.



شکل ۹. تغیرات زمانی آهنگ بارندگی ( $\text{mms}^{-1}$ ) برای جریان بالارو (خط پر) و جریان پایین رو (خطچین) در مورد شبیه‌سازی مدل ETTM.

تک‌سلولی (گسترش، بلوغ و میرایی) را به خوبی شبیه‌سازی می‌کند. یک طرح‌واره پارامترسازی همرفت کومه‌ای با استی توانایی بازتولید مجدد نیم‌رخ‌های گرمایش و خشک‌شدن، شارهای جرم، گرما و رطوبت در سراسر چرخه عمر یک ابر هموفتی داشته باشد. این شارها از مدل‌های یک‌بعدی ابر به کاررفته در این طرح‌واره‌ها به دست می‌آیند. بنابراین شبیه‌سازی موفق این ویژگی‌ها با استفاده از مدل ETTM، بهره‌گیری این مدل در طرح‌واره‌های پارامترسازی همرفت را هموار می‌کند و این هدفی است که در ادامه این تحقیق از سوی مولفان دنبال می‌شود.

#### منابع

- Anthes, R. A., 1977, A cumulus parameterization scheme utilizing a one-dimensional cloud model. *Mon. Weather Rev.*, **105**, 270-286.  
Arakawa, A., and Schubert, W. H. 1974, Interaction of a cumulus cloud ensemble with

#### ۶ نتیجه‌گیری

مدل ETTM در واقع شکل بهبودیافته مدل ابر یک‌بعدی قائم چن و سان (۲۰۰۲) که فقط جریان بالارو را در نظر می‌گیرد، به حساب می‌آید. در مدل چن و سان (۲۰۰۴)، علاوه‌بر پریشیدگی فشار غیرهیدروستاتیک، فرایند‌های کامل خردفیزیکی ابر، اثر درون‌آمیختگی-برون‌آمیختگی، اختلاط پیچکی جانبی، و اختلاط پیچکی قائم در یک مدل ابر یک‌بعدی قائم وابسته به زمان، اثرات جریان پایین رو، شعاع ابر، و اثرات کج‌شدگی در نظر گرفته شده‌اند.

اگر مرحله‌ای که فقط جریان بالارو در ابر وجود دارد را مرحله رشد، وقتی جریان‌های بالارو و پایین رو هردو حضور دارند را در حکم مرحله بلوغ ابر و حاکم شدن جریان‌های پایین رو در ابر را مرحله میرایی در نظر بگیریم، نتایج حاصل از میدان‌های شبیه‌سازی شده نشان می‌دهند که مدل ETTM چرخه سه‌مرحله‌ای عمر یک توفان

- cloud model. *J. Clim. Appl. Meteorol.*, **22**, 1065–1092.
- Ogura, Y. 1972, Clouds and Convection. GARP Publication Series No. 8, WMO, Geneva, 20–29. UN.
- Ogura, and Takahashi, T. 1971, Numerical simulation of the life cycle of a thunderstorm cell. *Mon. Weather. Rev.*, **99**, 895–911.
- Park, S. K., and Droege, K. K. 1997, Validity of the tangent linear approximation in a moist convective cloud model. *Mon. Weather. Rev.*, **125**, 3320–3340.
- Pielke, R. A., 2002, Mesoscale Meteorological Modelling. 2nd Ed. Academic Press, San Diego, 676 pp. USA.
- Randall, D. A., 2005, An Introduction to Atmospheric Modelling. AT604. Course outline. Department of Atmospheric science, Colorado state university. USA.
- Rutledge, S. A., and Hobbs, P.V. 1984, The mesoscale and microscale structure and organization of clouds and precipitation in midlatitude cyclones. Part XII: A diagnostic modeling study of precipitation development in narrow, coldfrontal rainbands. *J. Atmos. Sci.*, **41**, 2949–2972.
- Srivastava, R. C., 1985, A simple model of evaporatively driven downdrafts: Application to microburst downdraft. *J. Atmos. Sci.*, **42**, 1004–1023.
- Simpson, J. E., 1976, Precipitation augmentation from cumulus clouds and systems. Scientific and technological foundation, 1975. *Adv. Geophys.* **19**, 1–72.
- Simpson, J. E., 1983, Cumulus clouds: Numerical models, observations and entrainment. In *Mesoscale Meteorology—Theories, Observations and Models*, D. K. Lilly and T. Gal-Chen, Eds., Reidel, Dordrecht, Holland, 413–445.
- Steiner, J., 1973, A three-dimensional model of cumulus cloud development. *J. Atmos. Sci.*, **30**, 414–435.
- Wallace, J. M., and Hobbs, P. V., 2006, Atmospheric Science: An Introductory Survey. Vol. 84, Second Edition, Academic Press, 504 pp. USA.
- Wisner, C., H. Orville, and C. Myers, 1972, A Numer Mod Hail-Bearing Cloud. , **29**, 1160–1181.
- Wu, X., Moncrieff, M. W. and Emanuel, K. A. 2000, Evaluation of large-scale forcing during TOGA COARE for cloud-resolving models and single-column models. *J. Atmos. Sci.*, **57**, 2977–2985.
- the large scale environment. Part I. *J. Atmos. Sci.*, **31**, 674–701.
- Asai, T., and Kasahara, A., 1967, A theoretical study of the compensating downward motions associated with cumulus clouds. *J. Atmos. Sci.*, **24**, 187–196.
- Chen, S. H., and Sun, W. Y., 2002, A one-dimensional time dependent cloud model. *J. Meteorol. Soc. JPN*, **80**, 99–118.
- Chen, S. H., and Sun, W. Y., 2004, An explicit one-dimensional time-dependent tilting cloud model. *J. Atmos. Sci.*, **61**, 2797–2816.
- Cotton, W. R., 1975, Theoretical cumulus dynamics. *Rev. Geophys. Space Phys.* **13**, 419–448.
- Coho, R. A. and Anthes, R. A. 1989, Storm and Cloud Dynamics. Academic Press, Inc., 883pp. USA.
- Das, S., D. Johnson and W. K. Tao, 1999, Single-column and cloud ensemble model simulations of TOGA-COARE convective systems. *J. Meteorol. Soc. JPN*, **77**, 803–826.
- Fritsch, J. M., and Chappell, C. F. 1980a, Numerical prediction of convectively driven mesoscale pressure systems. Part I: Convective parameterization. *J. Atmos. Sci.*, **37**, 1722–1733.
- Fritsch, J.M and Chappell, C.F, 1980b, Numerical prediction of convectively driven mesoscale pressure systems. Part II: Mesoscale model. *J. Atmos. Sci.*, **37**, 1734–1762.
- Grell, G. A., 1993, Prognostic evaluation of assumptions used by cumulus parameterization. *Mon. Weather Rev.*, **121**, 764–787.
- Holton, J. R., 1973, A one-dimensional cumulus model including pressure perturbations. *Mon. Weather Rev.*, **101**, 201–205.
- Hu, Q., 1997, A cumulus parameterization using a cloud model of intermittently rising thermals. *J. Atmos. Sci.*, **54**, 2292–2307.
- Kuo, H. L., 1965, On formation and intensification of tropical cyclones through latent heat release by cumulus convection. *J. Atmos. Sci.*, **22**, 40–63.
- Kuo, H. L., 1974, Further studies of the parameterization of the influence of cumulus convection on large-scale flow. *J. Atmos. Sci.*, **31**, 1232–1240.
- LeMone, M. A., and Zipser, E. J. 1980, Cumulonimbus vertical velocity events in GATE. Part I: Diameter, intensity and mass flux. *J. Atmos. Sci.*, **37**, 2444–2457.
- Lin, Y.-L., Farley, R. D. and Orville, H. D. 1983, Bulk parameterization of the snow field in a